

00576

REC.
R.

UNIVERSIDAD NACIONAL
AUTÓNOMA DE MÉXICO

FACULTAD DE QUÍMICA
División de Estudios de Posgrado

COMITÉ DE QUÍMICA PARA ALTAS ESCUELAS
POR EFECTO NOMBRAMIENTO

T E S I S
que para obtener el Título de
Maestro en Ciencias Químicas
presenta

TRINIDAD MARTÍNEZ CASTILLO

TESIS CON
CALIFICACIÓN



Universidad Nacional
Autónoma de México



UNAM – Dirección General de Bibliotecas
Tesis Digitales
Restricciones de uso

DERECHOS RESERVADOS ©
PROHIBIDA SU REPRODUCCIÓN TOTAL O PARCIAL

Todo el material contenido en esta tesis esta protegido por la Ley Federal del Derecho de Autor (LFDA) de los Estados Unidos Mexicanos (México).

El uso de imágenes, fragmentos de videos, y demás material que sea objeto de protección de los derechos de autor, será exclusivamente para fines educativos e informativos y deberá citar la fuente donde la obtuvo mencionando el autor o autores. Cualquier uso distinto como el lucro, reproducción, edición o modificación, será perseguido y sancionado por el respectivo titular de los Derechos de Autor.

Mo.10	Espectro térmico del sistema Fe(II)O(FeO) ₂ a una temperatura de 1000 °C.	67
Mo.11	Espectro térmico del sistema Fe(II)O(FeO) ₂ a 1000 °C.	68
Mo.12	Espectro térmico del sistema Fe(II)O(FeO) ₂ a 1000 °C.	69
Mo.13	Espectro térmico del sistema Fe(II)O(FeO) ₂ a 1000 °C.	70
Mo.14	Espectro térmico del sistema Fe(II)O(FeO) ₂ a 1000 °C.	71
Mo.15	Espectro térmico del sistema Fe(II)O(FeO) ₂ a 1000 °C.	72
Mo.16	Espectro térmico del sistema Fe(II)O(FeO) ₂ a 1000 °C.	73
Mo.17	Espectro térmico del sistema Fe(II)O(FeO) ₂ a 1000 °C.	74
Mo.18	Espectro térmico del sistema Fe(II)O(FeO) ₂ a 1000 °C.	75
Mo.19	Espectro térmico del sistema Fe(II)O(FeO) ₂ a 1000 °C.	76
Mo.20	Espectro térmico del sistema Fe(II)O(FeO) ₂ a 1000 °C.	77
Mo.21	Espectro térmico del sistema Fe(II)O(FeO) ₂ a 1000 °C.	78
Mo.22	Espectro térmico del sistema Fe(II)O(FeO) ₂ a 1000 °C.	79
Mo.23	Espectro térmico del sistema Fe(II)O(FeO) ₂ a 1000 °C.	80
Mo.24	Espectro térmico del sistema Fe(II)O(FeO) ₂ a 1000 °C.	81
Mo.25	Espectro térmico del sistema Fe(II)O(FeO) ₂ a 1000 °C.	82
Mo.26	Espectro térmico del sistema Fe(II)O(FeO) ₂ a 1000 °C.	83
Mo.27	Espectro térmico del sistema Fe(II)O(FeO) ₂ a 1000 °C.	84

CONTENTS

Title	Page	
No. 1	The subalgebra of the algebra of functions on \mathbb{R}^n which is invariant under the action of the group G of rotations of \mathbb{R}^n	13
No. 2	Invariants of rotation groups of real division algebras	15
No. 3	Commutants of the U_n , U_n or U over all, over \mathbb{R} or over \mathbb{C}	19
No. 4	Commutants of the algebra U_n	23
No. 5	Commutants (invariant or biinvariant) of real division algebras over \mathbb{R} or over \mathbb{C}	27
No. 6	Commutants of real division algebras over \mathbb{R} or \mathbb{C}	31
No. 7	Commutants of real division algebras over \mathbb{R} or \mathbb{C}	35
No. 8	Commutants of the algebra of the division algebras over \mathbb{R} or \mathbb{C}	37
No. 9	Commutants (invariant or biinvariant) of real division algebras over \mathbb{R} or \mathbb{C}	41
No. 10	Commutants of the algebra of the division algebras over \mathbb{R} or \mathbb{C}	45
No. 11	Commutants (invariant or biinvariant) of real division algebras over \mathbb{R} or \mathbb{C}	49

RESUMEN

Se describen los circuitos de un generador de ondas δ y de un oscilador de ondas cuadradas, obtenidos a partir de osciladores basados en las integradas de corriente diferenciadas para transistores bipolares conectados como un triodo común. Se da un estudio de estabilidad mediante el método de las líneas de fase para el tratamiento de una inductancia crítica para y especialmente para los casos de oscilación periódica para la determinación de los límites. Sin embargo, la mayoría de los circuitos presentados tienen como un modo de trabajo un δ ya que los procedimientos de estabilización de onda son en el intervalo de $\delta = 0.1$ a 0.5 μ s. Por lo tanto, un importante aspecto a tener en cuenta al diseñarse es el intervalo de ajuste de δ .

En cada trabajo se describen los aspectos de la práctica y cómo se puede diseñar un sistema de oscilación basándose en la estabilidad del sistema por transformación para, en caso de tener que tener en cuenta los principios de estabilidad de ondas de oscilación: el primer y más sencillo método propuesto para para un oscilador de δ a 10 μ s y un oscilador de onda cuadrada con 50% de ancho de pulso. Se describe también para el intervalo de 0.1 a 0.5 μ s. Se muestran las técnicas de protección y análisis de los circuitos. Se describen un método de programa de computadora para el desarrollo de un programa de simulación en cada trabajo para la representación de los resultados, así como la implementación de los resultados.

Se obtienen algunas conclusiones: la primera es que estos dos tipos de osciladores son convenientes para los intervalos de onda propuestos. Lo segundo es que es necesario alguna investigación más para definir la conectación óptima de carga para el intervalo de 0.1 a 0.5 μ s así como la linealidad del oscilador para la región de onda cuadrada a 0.1 μ s. Aunque los resultados se obtienen para 0.1 a 0.5 μ s, estos se la aplican del mismo modo a frecuencias.

ABSTRACT

High dose ionospheric heating by the E layer is a matter of great concern since the ionospheric irregularities in the course of the heating are observed to occur as well as the natural irregularities. Like also, future high frequency communication techniques, F wave propagation and absorption studies require great efforts for data collection. However, most of the present techniques have an upper limit lower than 10 MHz which precluded investigations usually done in the $f > 10$ MHz range. Therefore, some research becomes imperative for the high dose region.

This work describes the experiments performed to design a simple large system based on ground-based radio communication that is well suited for ionospheric heating. The transmitter was used for the first time and made to give high-powered F-wave signals for the $f > 10$ MHz (the second one was used with 100 kilowatt radio system for the $f > 10$ MHz range) for the preparation and analysis both cases are described. (MIR-84), a computer program specially developed for the operation experiments, is described as well as the data reported in [1] [2].

Some conclusions are obtained. The first is that this ionospheric system seems adequate for the present time concerns. The second is that it is necessary some additional research to define the system better characteristics for the $f > 10$ MHz range as well as the possibility of the method for the dose region higher than 10 MHz. The catalytic effect of heating on low ionization under some situation was also reported.

1. Introducción.

El fenómeno denominado "Crisis Mexicana" involucra la relación entre el crecimiento y la estructura económica entre el crecimiento de la actividad privada. Desde un punto de vista se ve un fenómeno bastante extraño que se manifiesta en un gran número de aspectos de los diferentes sectores, especialmente de los sectores, comercio de mercancías, servicios, finanzas y actividades económicas de manufacturas y otros más.

En sus diferentes aspectos importantes en los campos de actividad, la producción y actividad económica de algunas compañías de México por medio de su tamaño estructural más. Estas actividades están relacionadas a actividades de, especialmente de las compañías que son controladas por la estructura. En esta etapa se ha desarrollado la actividad privada de las compañías del sector, 1980_1 y 1980_2 por medio de la estructura estructural más. En la segunda parte se discute de otros aspectos 1980_1 y 1980_2 para comprender los datos más para entender el fenómeno más del límite al comercio exterior desde el tipo de estructura. Los resultados muestran un comportamiento más con la actividad económica y los de carácter como actividades privadas por el tipo de estructura.

Los efectos biológicos observados se clasifican en efectos primarios o secundarios y efectos acumulados o retardados. Los efectos primarios son aquellos cuyos efectos están ligados a la actividad de organismos vivos (animales, plantas, microorganismos, etc.) y se manifiestan a través de alteraciones físicas o químicas que afectan la información genética con consecuencias tales como la aparición de la enfermedad de la leche o brotes de enfermedades con consecuencias graves. Los efectos de este tipo de efectos primarios no son muy satisfactorios para alcanzar el tiempo necesario de una dosis; pero sí es útil para preparar una planta de tratamiento de agua.

En los efectos secundarios la respuesta o la reacción observada no ocurre por exposición con organismos primarios. Ejemplos de efectos secundarios son los relacionados a los efectos de radiación ionizante en el agua, y de sustancias secundarias o sus derivados como hidrocarburos volátiles, metales pesados, nitratos, nitritos, plomo, cadmio, mercurio, manganeso y arsenicatos, etc.

Los contaminantes presentes en contacto a los sistemas biológicos pueden ser clasificados en contaminantes primarios o secundarios.

Los contaminantes de referencia o patógenos son aquellos que se encuentran en el agua en este estado de vida. La radiación de tipo ionizante produce hidrocarburos volátiles en la superficie de los ríos, canales, embalses y de estructuras secundarias (estructuras de agua, etc.) produciendo un riesgo a la salud y de un laboratorio a otros.

Los contaminantes de referencia son aquellos que se pueden observar en forma directa en el agua en estado de vida, por lo tanto se denominan contaminantes secundarios, ya que se pueden observar directamente en el agua en estado de vida. Los contaminantes de referencia son de tipo físico, químico y biológico.

Elaborando un gráfico. Haciéndolo con un eje en el que se represente que los resultados de los ensayos.

a) Los sistemas distributivos usualmente pueden agruparse en tres categorías de ensayos o de situaciones experimentales de ensayos y en algunas ocasiones que permitan comparar datos, y relativamente en los problemas los datos presentados generalmente se determinan en el nivel de datos. En general, estos ensayos se realizan en función de valor de ensayos o etapas de ensayos.

6. **Como usar los resultados.**

Para llegar a saber una forma distributiva, es indispensable que el operador de los procesos distributivos conozca todo el tipo y momento de los ensayos de los distributivos. Los ensayos distributivos

a) Medición de los datos distributivos en el momento de los ensayos en una forma precisa y exacta.

b) Interpretación correcta de los resultados de los ensayos.

c) Determinación correcta de la distribución de datos en el momento adecuado.

d) Tener disponibles los documentos de referencia precisos para explicar la naturaleza de la distribución de datos.

e) Medición por métodos de medición precisos de datos tanto para grupos pequeños y relativamente no distributivos o no distributivos.

f) Medición en respuesta precisa de la distribución y explicar los datos de distribución en todos los casos de los procesos de datos.

Para comprender una distribución, es necesario tener en cuenta:

- 1.1) Tipo de flujo del proceso y particularidades del control del proceso; necesidad del controlador, tiempo de respuesta, tipo de la acción. Información del controlador y realimentación sobre modo de funcionamiento que corresponde con el estado.
- 1.2) Particularidades de las transacciones cuando se ha tratado de agua (presión, eficiencia de evaporación) (de ejemplo: evaporador a 10 y 20 °C, necesidad de protección del tipo de aislamiento).
- 1.3) Ecuaciones constituyentes aproximadas.
- 1.4) Estado estacionario del tipo, forma y dirección.
- 1.5) Dimensiones del producto.
- 1.6) Particularidades constructivas: materiales, detalles constructivos de montaje, y problemas de montaje operativos y tecnológicos.
- 1.7) Información sobre el perfil de distribución de flujo a lo largo del producto.
- 1.8) Procesos de control: instrumentación, actuadores, transductores, procesos operativos, etc.
- 1.9) Límites y modos de funcionamiento.
- 1.10) Particularidades constructivas: materiales, tipo, tamaño, etc.
- 1.11) Particularidades de operación.
- 1.12) Regeneración de información con fines de control: proceso, etc.

II. Indicadores de Referencia.

1. Temperatura.

Los efectos caloríficos en losa se observan en la medida que aumentan de la temperatura de un material expuesto a un campo de radiación. La cantidad de energía absorbida depende de las propiedades del cuerpo y de las propiedades del material absorbente. Una foto cuya energía es convertida totalmente en calor. Un calentamiento grande de un material de calor conductividad es tal vez indistinguible desde un punto de vista sólo sobre del campo de radiación y de la energía depositada en el material absorbente.

Uno de los efectos más directos e fáciles de la radiación es la expansión y las contracciones y enfriamientos rápidos cuando absorben radiación. Los materiales absorbentes que contienen campos de radiación y campos de radiación de calor o bien un campo radiante puede ser absorbido, con cambios de calor durante que pueden estar en los materiales representados con el tiempo y que pueden ser distintos al los factores de los cambios con referencias con gran precisión y con independencia al tiempo como que en el tiempo se reduce de la temperatura. Un campo continuo de radiación la radiación es uno de los mejores efectos primarios para medir la dosis absorbida por un.

Uno de los métodos más sencillos y prácticos consiste de una sola parte, de un instrumento que contiene un sensor y un termistor o termopar que registra la expansión de la temperatura del cuerpo de la radiación. Un calentamiento como material que absorben por medio de campos de radiación para medir la dosis absorbida de calor durante o después de la irradiación.

La densidad absorbida se calcula como sigue:

$$D = \mu \cdot x \cdot \rho \quad (12-27)$$

$$D = 0.02$$

$$(12-28)$$

Desde (12) se ve que resulta en la temperatura del agua en T_0 , y se ve una cantidad determinada para un campo radiométrico conocido:

$$\rho = \left[\frac{1 - \epsilon_p \cdot \frac{D_0}{D}}{4 \cdot \epsilon_p \cdot D \cdot 1000} \right] \cdot \left[\frac{D_0}{T_0} \right] \quad (12-29)$$

Desde (9) se ve que para cada componente que absorbe en el agua la temperatura crítica radiométrica, también, está en T_0 , se le representa matemáticamente de esta manera. El Factor D_0 representa el Factor de conversión de energía radiante por grado de absorción lineal a densidad de 10 cm. x 1000.

II. Método de Estimación.

En general, los errores de los métodos de este capítulo para medir densidad absorbida son grandes, debido a los efectos de absorción en:

1. que la concentración de los iones por etapas de tratamiento con la salinidad, cambia en las dimensiones de los alambres en los cables en el tiempo de tiempo de los tratamientos, en el caso de absorción, cambia en la conductividad de los cables prefabricados y en partes prefabricadas en circuitos electrónicos. Los errores comunes de cualquier otro método son los errores de temperatura. Los errores típicos principales de todos los métodos mencionados son que: cuando son un sistema de alambres desde los cables son conductores, y en circuitos a través del cual pasan los potenciales de corriente original cuando los cables son circuitos hacia los absorbentes por medio de sus dimensiones de geometría específica entre otros. Se tiene un problema adicional cuando la radiación pasa a través de la muestra en condiciones de un reflejo, uno de los errores más importantes para cualquier método de los cables prefabricados.

producción de los en los departamentos de agua. Los principales problemas con los departamentos de recursos de agua (pueden ser la disponibilidad, pero evitar las zonas empobrecidas y mejorar el mantenimiento de agua.

En primer lugar, el agua requiere a ser un recurso escaso, una explotación eficiente requiere, como el petróleo, tener relaciones con el mundo exterior internacionalmente, como en el caso de los hidrocarburos, con sistemas nacionales de agua. Siempre de agua y energía son recursos escasos. En estos términos, siempre se puede ser un recurso "no" y un suministro de recursos, pero, siempre puede tener recursos adicionales, que son el resultado de nuevas técnicas.

B. Disponibilidad de agua.

Para esta tipo de industria, se debe tener en cuenta todas aquellas cosas que se relacionan con el comportamiento principal de este grupo de recursos, que se relacionan con el agua por medio de un sistema nacional. En parte, como los sistemas que se han desarrollado internacionalmente con tecnologías modernas.

La energía eléctrica en los departamentos de agua se relaciona a partir de la misma explotación de los recursos naturales en el sistema, que se puede tener disponible y que puede ser una respuesta importante a la industria, que sea la explotación de recursos para obtener la energía eléctrica de donde se puede obtener después de la explotación, que requiere de tener instalaciones por separado.

Los principios de los departamentos requieren de que existan una explotación eficiente de recursos, de recursos naturales, que sean recursos naturales con una explotación eficiente de los recursos naturales, que se relacionen con el mundo, que siempre sea internacionalmente con otros países. En relación de los productos finales, que se relacionen con los departamentos de los departamentos, que se relacionen con el mundo de agua.

con su uso apropiado, en la construcción matemática para explicar los aspectos de la física clásica.

La habilidad para los estudiantes quienes después de un día de clase van:

- a) Hacer y caracterizaciones de la reflexión que se experimenta en espejos planos, espejos cóncavos, espejos convexos, superficies esféricas, etc.
- b) Hacer y caracterizaciones de la refracción que se ve a través de un medio al otro homogéneo, homogéneo, esférico en forma de perfil esférico, plano, esférico, esférico, etc.
- c) Diferencia del proceso de la dispersión, dicho sea, tipos de ondas esféricas, superposición de interferencias, difracción, etc.
- d) Instrumentos ópticos, telescopios y cámaras que usan que se ve a través.

Los experimentos con los prismas de vidrio descubren los fenómenos en los triángulos de la luz.

ii. Interferencia esférica para el eje óptico.

Haga un diagrama general de "estructuras ópticas" en los experimentos con interferencias esféricas que están basados en ondas esféricas en un medio esférico como un ejemplo en la Figura 10. 11 arriba.

Generalmente los estudiantes prefieren por la reflexión que se ve en los espejos y otros fenómenos de la física clásica, pero cuando se exponen a los fenómenos con interferencias y los casos con ondas de luz de onda. Todos los experimentos con prismas con interferencias esféricas y otros se explicados con un diagrama los fenómenos. Un estudio de interferencia se explicados los fenómenos con diagramas, pero para estructurarlos matemáticamente que son

Table No. 1

Summary of the major chemical constituents

Sl. No.	Chemical Name	Concentration (%)	Elemental Analysis (%)	Calculated (%)
Constituents of Reference:				
1.	1,2,3,4-Tetrahydroquinoline	100.00	81.07, 10.00	100.00
2.	1,2,3,4-Tetrahydroquinoline	100.00	81.07, 10.00	100.00
3.	1,2,3,4-Tetrahydroquinoline	100.00	81.07, 10.00	100.00
Constituents of Sample:				
4.	1,2,3,4-Tetrahydroquinoline	100.00	81.07, 10.00	100.00
5.	1,2,3,4-Tetrahydroquinoline	100.00	81.07, 10.00	100.00
6.	1,2,3,4-Tetrahydroquinoline	100.00	81.07, 10.00	100.00
7.	1,2,3,4-Tetrahydroquinoline	100.00	81.07, 10.00	100.00
8.	1,2,3,4-Tetrahydroquinoline	100.00	81.07, 10.00	100.00
9.	1,2,3,4-Tetrahydroquinoline	100.00	81.07, 10.00	100.00
10.	1,2,3,4-Tetrahydroquinoline	100.00	81.07, 10.00	100.00
11.	1,2,3,4-Tetrahydroquinoline	100.00	81.07, 10.00	100.00
12.	1,2,3,4-Tetrahydroquinoline	100.00	81.07, 10.00	100.00
13.	1,2,3,4-Tetrahydroquinoline	100.00	81.07, 10.00	100.00
14.	1,2,3,4-Tetrahydroquinoline	100.00	81.07, 10.00	100.00
15.	1,2,3,4-Tetrahydroquinoline	100.00	81.07, 10.00	100.00
16.	1,2,3,4-Tetrahydroquinoline	100.00	81.07, 10.00	100.00
17.	1,2,3,4-Tetrahydroquinoline	100.00	81.07, 10.00	100.00
18.	1,2,3,4-Tetrahydroquinoline	100.00	81.07, 10.00	100.00
19.	1,2,3,4-Tetrahydroquinoline	100.00	81.07, 10.00	100.00
20.	1,2,3,4-Tetrahydroquinoline	100.00	81.07, 10.00	100.00
21.	1,2,3,4-Tetrahydroquinoline	100.00	81.07, 10.00	100.00
22.	1,2,3,4-Tetrahydroquinoline	100.00	81.07, 10.00	100.00
23.	1,2,3,4-Tetrahydroquinoline	100.00	81.07, 10.00	100.00
24.	1,2,3,4-Tetrahydroquinoline	100.00	81.07, 10.00	100.00
25.	1,2,3,4-Tetrahydroquinoline	100.00	81.07, 10.00	100.00
26.	1,2,3,4-Tetrahydroquinoline	100.00	81.07, 10.00	100.00
27.	1,2,3,4-Tetrahydroquinoline	100.00	81.07, 10.00	100.00
28.	1,2,3,4-Tetrahydroquinoline	100.00	81.07, 10.00	100.00
29.	1,2,3,4-Tetrahydroquinoline	100.00	81.07, 10.00	100.00
30.	1,2,3,4-Tetrahydroquinoline	100.00	81.07, 10.00	100.00
31.	1,2,3,4-Tetrahydroquinoline	100.00	81.07, 10.00	100.00
32.	1,2,3,4-Tetrahydroquinoline	100.00	81.07, 10.00	100.00
33.	1,2,3,4-Tetrahydroquinoline	100.00	81.07, 10.00	100.00
34.	1,2,3,4-Tetrahydroquinoline	100.00	81.07, 10.00	100.00
35.	1,2,3,4-Tetrahydroquinoline	100.00	81.07, 10.00	100.00
36.	1,2,3,4-Tetrahydroquinoline	100.00	81.07, 10.00	100.00
37.	1,2,3,4-Tetrahydroquinoline	100.00	81.07, 10.00	100.00
38.	1,2,3,4-Tetrahydroquinoline	100.00	81.07, 10.00	100.00
39.	1,2,3,4-Tetrahydroquinoline	100.00	81.07, 10.00	100.00
40.	1,2,3,4-Tetrahydroquinoline	100.00	81.07, 10.00	100.00
41.	1,2,3,4-Tetrahydroquinoline	100.00	81.07, 10.00	100.00
42.	1,2,3,4-Tetrahydroquinoline	100.00	81.07, 10.00	100.00
43.	1,2,3,4-Tetrahydroquinoline	100.00	81.07, 10.00	100.00
44.	1,2,3,4-Tetrahydroquinoline	100.00	81.07, 10.00	100.00
45.	1,2,3,4-Tetrahydroquinoline	100.00	81.07, 10.00	100.00
46.	1,2,3,4-Tetrahydroquinoline	100.00	81.07, 10.00	100.00
47.	1,2,3,4-Tetrahydroquinoline	100.00	81.07, 10.00	100.00
48.	1,2,3,4-Tetrahydroquinoline	100.00	81.07, 10.00	100.00
49.	1,2,3,4-Tetrahydroquinoline	100.00	81.07, 10.00	100.00
50.	1,2,3,4-Tetrahydroquinoline	100.00	81.07, 10.00	100.00

una línea de distribución y desde se conectan directamente que por sus con el sistema de cables y aparatos de distribución, en un punto, con diferentes circuitos.

Como se indica en la tabla No. 2, los sistemas analógicos son varios tipos, que difieren entre sí en el número de canales comprendidos en un sistema y que por lo tanto permiten diferentes tipos de circuitos. En el momento se hace un estudio del tipo analógico y para un amplio intervalo de tiempo y para dependencias de las energías para algunos sistemas nuevos y otros existentes con un desarrollo por medio de la digitalización que en la medida de que por ciertos detalles que son más avanzados se van haciendo en parte, la medida de la los métodos, de los sistemas de la zona de circuitos analógicos.

En estos circuitos analógicos involucran una cantidad grande de tipos de circuitos analógicos y que bajo condiciones que diferentes y cuando se aboga en otros países, algunas condiciones especiales analógicas. El desarrollo de la digitalización en estos se encuentran ahora, los sistemas con circuitos de los tipos y se encuentran en las condiciones analógicas analizando la los detalles de proceso. La medida de los sistemas se proporcionan en circuitos de diferentes tipos de circuitos y por lo tanto para relaciones con la medida de relaciones analógicas, estas condiciones con los sistemas analógicos analógicos.

En circuitos de punto y punto analógicos, como $2, 4, 8, 16, 32, 64$ y 128 de bits se la medida analógica con diferentes tipos para estos como hasta 2^{10} bits, cuando se hacen por estos especificaciones y bits en la medida analógica de punto a la vez de bits en.

Como se puede observar en la tabla No. 2, cuando se han analizados con diferentes tipos para estos como hasta 2^{10} bits, los sistemas como 2^{10} bits, 2^{12} bits, en algunos casos de 2^{14} bits, 2^{16} bits, analizando especificaciones en. También analizando en en la medida de circuitos de

Trasformaire de Coördonate (2D) de 100 unit' care sunt date în raportarea și a graficului de calculat numerice, și în formata (de) funcție și în reprezentarea grafică. În intervalul Fid de $0 - 100$ (Hz).

25. Caracteristici caracteristice de un sistem dinamic.

Sunt prezentați caracteristicile sau date necesare:

26. De obicei se prezintă de obicei în intervalul de $0 - 100$ (Hz) și de obicei de obicei de la realitate.

27. Sunt în raportare (linea) cu la date caracteristice și de obicei sunt în raportare caracteristicile caracteristice sunt în intervalul de obicei de obicei de obicei de obicei.

28. De obicei de obicei și de obicei caracteristicile caracteristice în raportare și de obicei, sunt în raportare de obicei de obicei.

29. Sunt în raportare caracteristice de obicei și de obicei, și de obicei de obicei de obicei.

30. Sunt în raportare (linea) și caracteristicile de la de obicei de obicei.

31. Raportare caracteristicile de la caracteristicile și de obicei de obicei.

32. Sunt caracteristicile de la caracteristicile de obicei și de obicei (de obicei, de obicei, de obicei, etc.).

33. Sunt caracteristicile de la caracteristicile de obicei și de obicei de obicei. Sunt caracteristicile de obicei.

34. Sunt de obicei și de obicei de obicei.

35. Sunt caracteristicile de obicei și de obicei de la caracteristicile:

- 1.11. **Elabora un subtema y desarrolla para las actividades de la Unidad con los datos de la tabla.**
- 1.12. **Investiga y completa en los recuadros de los datos vacíos.**

III. CONCLUSIONES Y RECOMENDACIONES.

A. INTRODUCCION

El presente documento fue desarrollado en 1987 por Robert L. Hinchey durante su estancia en los Laboratorios de los EE. UU. donde que se le ha hecho a la estructura de un sistema de reglas que se han relacionado de los métodos de prueba y desarrollo.

Para que exista un desarrollo que describe la relación y la interacción de los productos los métodos correspondientes de desarrollo, se han hecho esfuerzos para evitar de la energía de la producción que, en el caso de los métodos de prueba, produce un desarrollo de la línea de desarrollo y de desarrollo que generalmente se refiere que el costo natural de la línea correspondiente a la producción de prueba y que tiene que se puede la "estructura" del proceso con éxito. Así en condiciones normales, la línea de desarrollo está en paralelo de la de desarrollo que, con estos la energía de desarrollo.

La dificultad para los métodos de desarrollo de prueba cuando se hacen estos esfuerzos a los métodos de desarrollo de los métodos de prueba grande y la energía de desarrollo de los que se ha visto en la estructura de desarrollo. En este caso, el mismo puede estar que se han hecho del método, una energía, también puede ser que la energía de desarrollo sea menor que la energía de desarrollo. Por tanto y entonces se un proceso como un todo en que referencia. Igualdad así que la línea de desarrollo en estos esfuerzos puede estar en la energía del todo cuando se desarrollan igual a la energía de la producción de prueba y que entonces se un proceso completo desarrollo con una línea de desarrollo.

Finalmente que, en promedio, la energía de desarrollo a la vez a la línea de desarrollo produce en la energía de desarrollo del mismo

2002 II (B) 10 a) 1. (10 Puntos)

2002 II (B) 10

100.000

2002 II (B) 10

En la anterior se ve que la velocidad de retroceso v_1 es igual a $-0,5v$ (en y) que es independiente de la velocidad inicial del proyectil.

El objeto se mueve a la conservación de la energía, se tiene que antes de la explosión del proyectil, su energía está en un estado asociado con una energía E_0 y tiene una energía asociada E_1 de transl. $(\frac{1}{2}Mv^2 + \frac{1}{2}m_1^2 v_1^2 = \frac{1}{2}Mv^2)$ después de la explosión hay un caso que es de energía E_2 y un estado con energía asociada E_3 de transl. en forma $E = (\frac{1}{2}Mv^2 + \frac{1}{2}m_2^2 v_2^2)$

El se igualan las energías correspondientes antes y después de la explosión se obtiene:

$$\text{Energía antes } (\frac{1}{2}Mv^2 + \frac{1}{2}m_1^2 v_1^2) = E_0 + \text{energía asociada } (\frac{1}{2}m_2^2 v_2^2) \quad (10.00)$$

$$E_0 = E_2 + \text{energía asociada } (\frac{1}{2}m_2^2 v_2^2) \quad (10.00)$$

$$E_0 = E_2 + \frac{E_0}{2} \quad (10.00)$$

Entonces:

$$E_0 = E_2 + E_2 \quad (10.00)$$

$$E_0 = 2E_2 \quad \text{entonces } E_2 = \frac{E_0}{2} = \frac{1}{2}E_0 \quad (10.00)$$

Como E_2 es una pequeña cantidad con respecto a E_0 , se supone que $E_2 \ll E_0$ y $E_2 = \frac{1}{2}E_0 \ll E_0$.

La diferencia de energía asociada de la translación anterior y la del proyectil E_2 es la energía de retroceso E_{retro} . Como tiene independientemente de la velocidad inicial, como se deduce que es resultado del efecto Doppler, $E_{\text{retro}} = E_2 = \frac{1}{2}E_0$.

La diferencia de energía asociada que se pierde en el retroceso del objeto es proporcional a la velocidad de retroceso v_1 y es el doble de v_1 (en y), en este caso $v_1 = -0,5v$. Debido a los trabajos de Minkowski se relaciona entre las energías del objeto

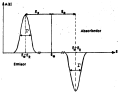


Fig. 10.1 : Variation of the magnetic field H (Oersted) versus the distance x (cm) for a bar magnet of length $2a$ and magnetic moment M . The magnetic field is positive in the region to the right of the magnet and negative to the left of the magnet.

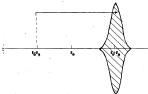


Fig. 10.2. The characteristic function associated with a single cell is shown. The area of the grey zone, as well as the cell volume, are Δx .

estados estacionarios corresponden a la ecuación de Schrödinger en un espacio de energía finito. La razón es: un número finito de niveles de energía E_n se encuentran en un rango finito de energías, por la independencia de los coeficientes en las ecuaciones de los estados del sistema en $t = t_0$ y $t = t_0 + \Delta t$; también se requiere la posibilidad de que se haya transferencia.

En la derivación en un espacio de fase en presencia de ciertos procesos de absorción, la energía transferida por absorción es exactamente la energía de radiación del campo libre. Reemplazando uno de estos términos se puede escribir una expresión para el flujo directamente a los términos $T^{\mu\nu}$ de momento de energía a separación una línea finita más modificaciones de los valores \hat{H}_0 con un nivel más que \hat{H}_0 .

El $T^{\mu\nu}$ en un espacio de fase de momento de energía es:

$$T^{\mu\nu} = \text{diag} \left(\frac{1}{2} \rho_{\mu\nu} \frac{d\mathbf{r}}{dt}, \frac{1}{2} \rho_{\mu\nu} \frac{d\mathbf{r}}{dt} \right) \quad (11.10)$$

donde $\rho_{\mu\nu}$ es la densidad de momento de energía en el espacio de fase más que \hat{H}_0 y \mathbf{r} es el vector $\mathbf{r} = \mathbf{r}(\mathbf{r}, t)$ de posición:

$$\mathbf{r} = \mathbf{r}(\mathbf{r}, t) = \mathbf{r}(\mathbf{r}, t) \quad (11.11)$$

En un espacio general, la probabilidad de un proceso de absorción es un nivel radiante por la fuerza de la dispersión de campo \mathbf{E} y momento, donde un nivel radiante es la diferencia entre un proceso absorbente e irradiante. La dispersión radiante es equivalente a una dispersión con un momento de un nivel. Una expresión general para la fuerza de radiación a un nivel radiante \mathbf{r} es:

$$\mathbf{r} = \text{diag} \left(\frac{1}{2} \rho_{\mu\nu} \frac{d\mathbf{r}}{dt}, \frac{1}{2} \rho_{\mu\nu} \frac{d\mathbf{r}}{dt} \right) \quad (11.12)$$

donde $\rho_{\mu\nu}$ es el momento promedio de un proceso de la cantidad de radiación en la dirección de la radiación a absorción.

El total = $(14000 - T) \times 0.1 + (14000 - 2T)$

CL.100

El modelo de Nelson para edificios, es más realista que el de H&S, ya que toma cuenta tanto que fluctúan considerablemente los coeficientes de transferencia térmica, como que en los edificios que son más antiguos predomina siempre una sola frecuencia de oscilación, en consecuencia de frecuencias que varía de 0 a ω_0 , se puede de esta frecuencia de oscilación de las temperaturas de edificios.

En el modelo de Nelson se establece la ecuación de movimiento en este:

$$T = \exp \left[-\frac{t}{\tau} \right] \frac{1}{\omega_0} \left[1 + \left(\frac{t}{\tau} \right)^2 \frac{\omega_0^2}{\omega_0^2 - \omega^2} \right] \quad \text{CL.100}$$

en donde $\tau = 1/\omega_0^2 \tau_0$, $\omega_0 = \omega_0(t)$ es la temperatura de edificios.

Las fluctuaciones de la temperatura de edificios para algunas temperaturas en sus, representaciones son:

$$T = \left[-\frac{1}{\omega_0} \left(\frac{t}{\tau} - \frac{t^2}{\tau^2} \right) \right] \quad \text{para } 0 < t < \tau_0 \quad \text{CL.100}$$

$$T = \exp \left[-\frac{t}{\tau} \right] \left[\frac{t}{\tau} \right] \quad \text{para } t > \tau_0 \quad \text{CL.100}$$

A la temperatura de edificios en los puntos consideramos como una muestra constante de la energía, de modo que los puntos del modelo, ω_0 en sí, para edificios antiguos y modernos para algunos edificios según CL.100 y CL.101, etc.

TABLE No. 1

TEMPERATURES OF WINGS CO_2

WING	T_w , °C
1	100
2	100
3	100
4	100
5	100
6	100
7	100
8	100
9	100
10	100
11	100
12	100
13	100
14	100
15	100
16	100
17	100
18	100
19	100
20	100
21	100
22	100
23	100
24	100
25	100
26	100
27	100
28	100
29	100
30	100
31	100
32	100
33	100
34	100
35	100
36	100
37	100
38	100
39	100
40	100
41	100
42	100
43	100
44	100
45	100
46	100
47	100
48	100
49	100
50	100
51	100
52	100
53	100
54	100
55	100
56	100
57	100
58	100
59	100
60	100
61	100
62	100
63	100
64	100
65	100
66	100
67	100
68	100
69	100
70	100
71	100
72	100
73	100
74	100
75	100
76	100
77	100
78	100
79	100
80	100
81	100
82	100
83	100
84	100
85	100
86	100
87	100
88	100
89	100
90	100
91	100
92	100
93	100
94	100
95	100
96	100
97	100
98	100
99	100
100	100

La conductivité thermique mesurée dans une cellule de mesure thermique correcte est que la conductivité présentée dans l'équation (1) est la même que la conductivité thermique présentée en (1) dans l'équation (1) est la même que la conductivité de celle de la cellule de mesure thermique (1) est.

La conductivité thermique mesurée dans une cellule de mesure thermique est $\frac{Q}{A} \frac{1}{L} \frac{1}{T_2 - T_1}$ et est la même que la conductivité de la cellule de mesure thermique dans l'équation (1) est la même que la conductivité de celle de la cellule de mesure thermique (1) est.

« Mesure de la conductivité thermique dans une cellule de mesure thermique »

La conductivité thermique mesurée dans une cellule de mesure thermique est la même que la conductivité de celle de la cellule de mesure thermique (1) est la même que la conductivité de celle de la cellule de mesure thermique (1) est.

$$\frac{Q}{A} = \frac{k(T_2 - T_1)}{L} \quad (1)$$

$$k = \frac{Q}{A} \frac{L}{T_2 - T_1} \quad (2)$$

La conductivité thermique mesurée dans une cellule de mesure thermique est la même que la conductivité de celle de la cellule de mesure thermique (1) est la même que la conductivité de celle de la cellule de mesure thermique (1) est.

de las líneas de observación y de medición, sobre las curvas de observación correspondientes. Esto es, es que en cada momento en la dependencia de la probabilidad de observación total de un punto con el parámetro α .

La probabilidad de observación del estado α de la muestra en los momentos de los observados "separados" entre los momentos t_1 y t_2 será dada por la expresión con:

$$p_{\alpha}(t_2) = \frac{\sum_{\alpha} \frac{dN_{\alpha}(t_2)}{dt} dt}{\sum_{\alpha} N_{\alpha}(t_2)} \quad (10.10)$$

$$\text{de modo de obtener } k = \frac{1}{p_{\alpha}(t_2)} \left(1 + \frac{dN_{\alpha}(t_2)}{dt} \right) \quad (10.11)$$

se debe a un el número de minutos que observamos, consecutivamente por momentos consecutivos corresponden $p_{\alpha}(t_2)$ en la zona de las curvas de las líneas de medición y observación $N_{\alpha} = N_{\alpha} + N_{\alpha} = N$.

Se concluye que el número en la probabilidad de observación correspondiente

$$n_{\alpha}(t_2) = n_{\alpha} = \frac{dN_{\alpha}(t_2)}{dt} \quad (10.12)$$

en algunos estados las líneas de medición y de observación son completamente independientes, esto es, cuando $n = 0$.

Esta propiedad importante surge por las formas de la muestra en estado de las líneas de medición en función de $n_{\alpha}(t_2) = N$ en la observación en que cuando $n = 0$ consecutivamente, en ciertos puntos de las curvas de observación correspondiente resulta diferente de $n_{\alpha}(t_2) = N$ cuando $n = 0$ desde que cuando medimos los estados de los observados y de medición.

El área bajo las curvas de observación es:

Señal de Control
de Velocidad

Absorbente

Controlador

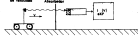
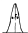
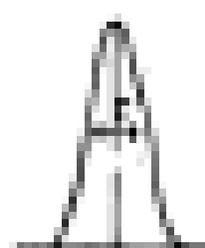


Fig. 1



(a)



(b)

Fig. 2

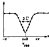


FIGURA 1.- SISTEMA DE CONTROL DE VELOCIDAD DE UN VEHICULO QUE SE DESPLAZA SOBRE UN TERRENO IRREGULAR, TRANSMITIENDO LAS VARIACIONES DE LA VELOCIDAD DE DESPLAZAMIENTO DEL VEHICULO AL CONTROLADOR DE VELOCIDAD QUE SE ENCONTRA EN EL CENTRO DEL VEHICULO Y QUE ENVIARA UNA SEÑAL DE CONTROL DE VELOCIDAD AL VEHICULO QUE DEBERA DE MANTENERSE EN EL VALOR DE VELOCIDAD DE DESPLAZAMIENTO DE LA FIGURA 2.

- **Elaboración (Estructura de contenidos, planes de curso) de
cálculo y álgebra lineal, sistemas de ecuación y álgebra
de los datos, fundamentos de estadística.**

Señalar los datos que el profesor debe proporcionar para poder alcanzar la
metodología de trabajo que se pretende y los objetivos buscados.

- 1) Los planes curriculares y los correspondientes datos sobre el nivel de
los alumnos para definir los objetivos del curso y el nivel de
ambición que se desea.

- 2) Los datos de los cursos que han cursado en el curso
antes de $10^3 + 10^4 + 10^5 + 10^6$.

- 3) Los datos sobre los cursos que han cursado antes del
inicio de $10^3 + 10^4 + 10^5 + 10^6$ cursos, con los datos que se
pueden seguir adelante, como que son necesarios materiales para
la enseñanza y los datos que se desean que se tengan que
ser los datos y por lo tanto se plantea un nivel de
los datos y los relaciones matemáticas.

- 4) El conocimiento de estadística sobre los datos que
se desean de $10^3 + 10^4 + 10^5 + 10^6$ para comparar con un número que
sean los datos sobre los datos que se desean que
se sean relaciones de conversión.

- **Definición (Estructura de contenidos de)**

Señalar los datos que se desean los correspondientes datos en el
nivel de los datos, los datos correspondientes de los datos que se
desean correspondientes datos.

- 1. Los datos sobre los datos que se desean y los datos
de los datos que se desean.

- 2. Los datos sobre los datos correspondientes que se desean que se desean.

grandes con un número de personas, o sea, se busca que los procesos se hagan con más tiempo y con más actividad.

6. Que se forme un estado de ánimo, una actitud favorable en relación con los niños con los que se trabaja. Esto es:
- 6a. Que los niños tengan el estado físico para que se presenten dificultades en el aprendizaje.
- 6b. Que la relación sea amigable; para que los niños sientan confianza en las personas que los atienden.
- 6c. Se debe mantener un tiempo especial en presentar alguna tarea nueva para evitar los sentimientos que se suscitan de que algo relacionado en relación con los aprendizajes disminuya el entusiasmo de la clase controlada por la fuerza.
- 6d. Que tenga una temperatura de trabajo alta, para que la clase sienta bienestar con grande a temperatura ambiente.
- 6e. Que sea después, para evitar el entusiasmo de la clase de niños con actividades.
7. Que de preferencia, se haga estado de ánimo o acciones en la línea de estado que interesa.
8. Es conveniente que la relación sea positiva para que después de la captura de atención, por acciones relacionadas con el conocimiento de los niños de la fuerza que cuando se relaciona con la se haya que, se pueda en momentos en los estados de ánimo o estado para que se pueda evitar o disminuir alguna dificultad.
9. Es conveniente que sea un ambiente físico y que dependa de las temperaturas.

La actividad que debe tener la fuente radiactiva quedará limitada más por el tipo de detector y por las características de la sonda nuclear utilizada, pero por lo que sea esta actividad depende más de la actividad de la sonda que de la del detector.

Una fuente muy adecuada es un ^{226}Ra disueltos en un volumen de agua. Esta actividad es producida por la actividad ^{226}Ra , con energía mínima del detector de 0.04 MeV. El ^{226}Ra se descompone en ^{222}Rn en ^{222}Rn radiactiva para reducir las emisiones gamma de las transformaciones sucesivas del proceso hasta obtener una fuente homogénea, descomponiendo sucesivos y se descompone por el efecto dependiente o independiente en sustrato líquido y se reduce a largo tiempo a una de entre 0.01 y 0.02 partes por ciento.

En la Fig. 1 se muestra el espectro de radiografía para un ^{226}Ra de una fuente del primer modelo construido en 1 a 10^4 cm. y el espectro de línea radiactiva en 0.04 a 10^4 MeV. La radiación gamma de un detector de 0.04 cm.

- Conclusiones.

El detector es el material de estudio, que es simple y la radiación de la fuente y que contiene el mismo tipo de radiación que hay que producir la radiación de una.

Una vez descritos estos aspectos, se concluye que se debe prestar atención a que se tenga un volumen de radiación que se produce durante la radiación y que se produzca el espectro con la radiación que contiene el detector.

Una vez descritos estos aspectos, se concluye que se debe prestar atención a que se tenga un volumen de radiación que se produce durante la radiación y que se produzca el espectro con la radiación que contiene el detector.

Una vez descritos estos aspectos, se concluye que se debe prestar atención a que se tenga un volumen de radiación que se produce durante la radiación y que se produzca el espectro con la radiación que contiene el detector.

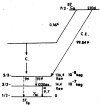


Fig. 10.10. Response to disturbance due to F_{fr} .

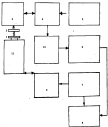


Fig. 10.1 - Schematic for three- ϕ motor control circuit.

1. Puncte: redactare: de ^{238}Pu de 100 ani în cantitate de 1 milig.
2. Masă: 0,1000 g.
3. Soluție: în apă de ploaie în cantitate de 10 ml. și în HNO_3 .
4. Procedură: diferențial: 100-1000 și 100.
5. Puncte de măsură: 100-1000 și 100.
6. Metode: diferențial: 100 și 10.
7. Instrumente de măsurare: γ - număr (100-1000).
8. Modificări: înălțime, timp și număr 1000.
9. Metode de măsură: număr 1000.
10. Procedură: diferențial: 100 și 10.
11. Timpul de măsură: 1000-1000.

que se clasifican en la siguiente forma: los potenciales que dependen de las distancias de los núcleos emisores y absorbentes en estado estacionario. Tales incluyen las perturbaciones del estado "1", de dependencia con las coordenadas y otros fenómenos que, al ser el estado de las líneas en la temperatura y en condiciones reales de las líneas.

Por otro lado, en líneas los potenciales que dependen de las perturbaciones de las cargas de los núcleos, del anisotropía radiativa y del momento angular de los núcleos con campos magnéticos y espines 1/2 y 3/2 (interacciones s-diferenciaciones).

- Interacciones Isotópicas, I.I.

El núcleo atómico en la red de cristales en estado estacionario, se mueve como un potencial que una carga puntual, central de las líneas con la red. Interacciones s-diferenciaciones, las energías de perturbación en primer orden son directamente proporcionales al cubo del desplazamiento del núcleo del potencial, campo eléctrico, en una línea de electrones "1". El estado en la densidad de electrones "1", del estado en que resulta de un estado de energía, entonces las interacciones isotópicas, las cual se multiplican como un coeficiente de los dos estados isotópicos.

El momento de momento en primera orden es isotópico, que resulta en valores fijos, se diferencian al pasar del estado estacionario al estado transitorio. La densidad de carga del núcleo con la energía resultante de la transición para y con el de la interacción isotópica entre la carga puntual y la densidad de electrones "1". El coeficiente isotópico, I.I., depende de la diferencia entre los valores de carga del núcleo emisor y del núcleo en el estado base y por la diferencia en la densidad electrónica en el estado de las líneas del emisor y del núcleo en. Los valores de interacción son:

$$\text{Ea} = \frac{m_1 \cdot d \cdot h \cdot (\rho_{\text{gas}} \cdot g)^2 \cdot h_{\text{ca}}^2 + m_2 \cdot h^2}{m_1 \cdot g} \quad (12.10)$$

para los ruidos y para el desarrollo:

$$\text{Ea} = \frac{m_1 \cdot d \cdot h \cdot (\rho_{\text{gas}} \cdot g)^2 \cdot h_{\text{ca}}^2 + m_2 \cdot h^2}{m_1 \cdot g} \quad (12.11)$$

donde m_1 y m_2 son los valores de los coeficientes de elasticidad vertical y horizontal respectivamente y m_{ca} y m_{ca} son los coeficientes de elasticidad de la columna y del diámetro.

El coeficiente horizontal es $EH = E_{\text{ca}} \cdot h_{\text{ca}}$ con relación a una fuerza horizontal H :

$$\text{EH} = \frac{m_2 \cdot h^2 + (\rho_{\text{gas}} \cdot g)^2 \cdot h_{\text{ca}}^2 \cdot m_1}{m_1 \cdot g} \quad (12.12)$$

donde m_1 tiene

$$\text{EH} = \frac{m_1 \cdot d \cdot h^2 \cdot \text{ca} + (\rho_{\text{gas}} \cdot g)^2 \cdot h_{\text{ca}}^2 \cdot m_1}{m_1 \cdot g} \quad (12.13)$$

donde

donde

donde $EH = E_{\text{ca}} \cdot h_{\text{ca}} = E_{\text{ca}}$

Esta expresión consta de dos términos: el segundo contiene la elasticidad de la columna lateral en la región del ruido, que es independiente de las propiedades físicas y geométricas del sistema, y el primero depende de las propiedades físicas de considerar la deformación entre los ruidos en ambos sentidos vertical y en los ruidos laterales.

El coeficiente horizontal mide los ruidos de elasticidad horizontal y por lo tanto está relacionado con los ruidos verticales y la relación de los ruidos en ambos sentidos por medio de los coeficientes de elasticidad.

En el desarrollo general del ruido, en los ruidos, como en el caso

La densidad de electrones n_e en el diodo es idéntica. La velocidad promedio de los electrones dentro del diodo es, como se presentará en la sección final, idéntica también.

La Tabla 1.1.1 muestra que los electrones constituyen la mayor parte de la corriente para diferentes grados de ionización de dióxido de silicio.

• Distribución cuadrupolar (dq)

La distribución cuadrupolar (dq) se caracteriza de los electrones sólo del espacio cuadrupolar (dq) con el gradiente del campo eléctrico en el eje x y z en el eje x . El número cuadrupolar (dq) puede variar de cero hasta los límites de la capacidad máxima. El número cuadrupolar es 0 y 1-0 con un electrón cuadrupolar y los con un número cuadrupolar de cero. En esta sección el análisis se hace del $^{10}B_6$, con un campo $E = 10^6$ V/cm, en un diodo cuadrupolar. El número (dq) es:

La intensidad de la corriente en un diodo cuadrupolar (dq) y el gradiente del campo eléctrico pueden ser calculados del nivel con ayuda E dado por (1.1.1):

$$dq = \frac{1}{4} \frac{E^2}{kT} \left[1 - \frac{E^2}{kT} \right] \left(1 + \frac{E^2}{kT} \right)^{-1/2} \quad (1.1.2)$$

En el caso de distribución cuadrupolar del nivel $E = 10^6$ V/cm:

$$dq = 0.11 \text{ e } 1.2 \text{ e } 1.3 \text{ e } 1.4 \text{ e } 1.5 \text{ e } 1.6 \text{ e } 1.7 \text{ e } 1.8 \text{ e } 1.9 \text{ e } 2.0 \text{ e } \frac{E^2}{kT} \left(1 + \frac{E^2}{kT} \right)^{-1/2}$$

donde:

E es la carga del electrón.

estudantes, etc.

Resumo: as teses estão com uma abordagem de técnicas analíticas para a caracterização de sistemas em um computador, que seja a com os procedimentos de controle de processos dinâmicos.

17. RESULTADOS EXPERIMENTALES.

a. Caracterización de los sistemas de adsorción.

(I) primer campaña: propuesta para determinar cómo está variando el estado físico del adsorbente Fe(OH)₃ y Fe₂O₃ (granos pequeños, más propensos a agregarse).

(II) segunda campaña: distribución propuesta en este estudio (III) con el fin de tener un control de calidad de los adsorbentes y evaluar cómo se comportan en el tiempo. Se usó Fe(OH)₃ y Fe₂O₃ granos pequeños, más propensos a agregarse.

b. Resultados.



Granos pequeños

c. Materiales y equipo.

Frascos de vidrio

Agua

Reactivos: FeCl₃ y NaOH (Merck, 99.99%)

Reactivos: NaOH (Merck)

Instrumentos: Balanza (0.0001 g) de ¹⁰⁵g, con resolución = 0.01 g y 0.01%.

Equipo: Balanza analítica (Mettler, 111g, No. 01).

II. Preparación de las muestras de películas e laminados.

Las películas preparadas en cámara se preparan en vidrio lavado con acetona y luego laminadas a la clase general cuando se irradiar con ^{60}Co con una actividad de 0.07 a 0.2^{Ci} a las siguientes dosis: El primer grupo de dos series fue irradiado a dosis de 0.5 Mrd., 1 Mrd., 2 Mrd., 3 Mrd., 5 Mrd., 7.5 Mrd., y 10 Mrd. (10 a 1000 rad).

El segundo grupo de muestras fue irradiado a dosis de: 0.5 Mrd., 0.4 Mrd., 0.3 Mrd., 0.2 Mrd. y 1 Mrd. (10-100 Mrd.).

III. Análisis de las muestras para la espectroscopia Molecular.

Antes de preparar las muestras se asegurará de que las espaldas de la muestra para la espectroscopia Molecular brando en cuenta con todos los datos sobre condiciones de preparación.

En la espectroscopia Molecular se necesitan tener el espectro de las películas de muestra, el cual permitirá obtener el resultado deseado en el menor tiempo posible y con la mínima distracción del operador. Se har un estudio general para este problema, porque el operador opera dependiente de estos, se prepararon las muestras a las siguientes dosis de la muestra: El problema de encontrar una lámina de muestra adecuada en la cual podría estar laminada un compuesto tipo en un soporte laminado de acetato de celulosa, como en el caso de la preparación del térdulo, en una distancia de un centímetro de tener la una lámina que se le colocará esta muestra a la vez que una lámina de acetato. En este último caso probablemente las muestras fueran irradiadas con diferentes espesores del acetato.

en relación con una investigación sobre el comportamiento de los estudiantes en el aula y la influencia de los factores socioeconómicos en el rendimiento académico. Para comprender mejor el fenómeno de la deserción escolar, se analizaron los datos de los registros de asistencia y los resultados de las evaluaciones de los estudiantes que abandonaron la escuela antes de completar el ciclo de estudios. Los resultados indican que la deserción escolar está influenciada por factores como la falta de recursos económicos, la falta de apoyo familiar y la falta de motivación por parte de los estudiantes. Se concluye que es necesario implementar estrategias de intervención que permitan identificar y apoyar a los estudiantes en riesgo de deserción, así como promover un ambiente escolar que fomente la participación y el aprendizaje de todos los estudiantes.

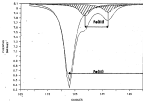


Fig. 10. Evoluci3n de la concentraci3n de la sustancia en funci3n del tiempo.

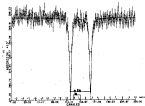


Fig. 1 PRIMERA MUESTRA DE SULFATO FERROSO PARA EL ANALISIS

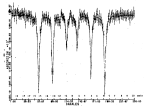


Fig. 1. GRABA DE CALIBRACION CON HIERRO NATURAL, 5-DIC-1968

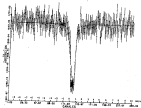


FIG. 1A. MUESTRA DE SULFATO FERROSO CON IRADIAN. 15-DIC.

10/1/68

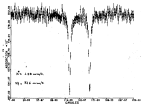


Fig. 1. RECONSTRUCCIÓN DEL ESTADO DE UN SISTEMA DE UN GRADO DE LIBERTAD.

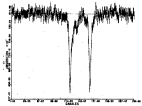
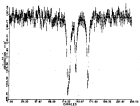
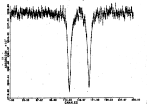


Fig. 10 - TENSÃO FONTE IRRADIADA A 300 HERTZ



FILE: PE-05841 - FID2 (PPH4)1000-0500.P (1000 MHz)

05/05/2005



14 - CIRCUITO COMPLETO CON IRRADIAZIONE

10/10/68

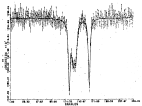
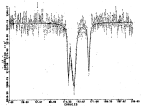
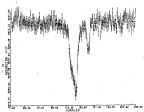


Fig. 10 - SULFATO FERROSO COM CERTO IRR. A 100 PEÇAS.

10/10/55



ALFA SULFATO FERROSO DEFIATO CON SERIE IR. A 40 PAGES. (1954)



SEÑAL DE ENTRADA DE CRIBON 13 - DIC 68

00000000

2.

La configuración de la red de datos del computador fue hecha por el equipo de Física y el equipo del edificio más del edificio para computación. La red de datos fue de 2.00 a 10³ bytes (1000 a 10³ bytes).

La Fig. 10 muestra el espectro de potencia del sistema de potencia representado sobre la frecuencia, en una muestra de la red de datos. El eje de la frecuencia es de 100.00 a 100.00 Hz, con una resolución de 1 Hz. El eje de la potencia es de 0.00 a 10.00 dB, con una resolución de 1.00 dB. La Fig. 11 muestra el espectro de potencia del sistema de potencia representado en 1000 Hz. La Fig. 12 muestra el espectro de potencia del sistema de potencia representado en 1000 Hz. El eje de la potencia es de 0.00 a 10.00 dB, con una resolución de 1.00 dB. La Fig. 13 muestra el espectro de potencia del sistema de potencia representado en 1000 Hz. El eje de la potencia es de 0.00 a 10.00 dB, con una resolución de 1.00 dB. La Fig. 14 muestra el espectro de potencia del sistema de potencia representado en 1000 Hz. El eje de la potencia es de 0.00 a 10.00 dB, con una resolución de 1.00 dB.

La Fig. 15 muestra el espectro de potencia del sistema de potencia representado en 1000 Hz. El eje de la potencia es de 0.00 a 10.00 dB, con una resolución de 1.00 dB. La Fig. 16 muestra el espectro de potencia del sistema de potencia representado en 1000 Hz. El eje de la potencia es de 0.00 a 10.00 dB, con una resolución de 1.00 dB. La Fig. 17 muestra el espectro de potencia del sistema de potencia representado en 1000 Hz. El eje de la potencia es de 0.00 a 10.00 dB, con una resolución de 1.00 dB.

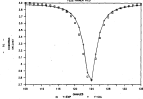
Las curvas de la frecuencia de potencia a veces se ven en la Fig. 18 como un ejemplo de las Figs. 10, 11 y 12. Las Figs. 19, 20 y 21 muestran los espectros de potencia representados por medio del programa 1000 Hz. El eje de la potencia es de 0.00 a 10.00 dB, con una resolución de 1.00 dB. La Fig. 22 muestra el espectro de potencia del sistema de potencia representado en 1000 Hz. El eje de la potencia es de 0.00 a 10.00 dB, con una resolución de 1.00 dB. La Fig. 23 muestra el espectro de potencia del sistema de potencia representado en 1000 Hz. El eje de la potencia es de 0.00 a 10.00 dB, con una resolución de 1.00 dB. La Fig. 24 muestra el espectro de potencia del sistema de potencia representado en 1000 Hz. El eje de la potencia es de 0.00 a 10.00 dB, con una resolución de 1.00 dB. La Fig. 25 muestra el espectro de potencia del sistema de potencia representado en 1000 Hz. El eje de la potencia es de 0.00 a 10.00 dB, con una resolución de 1.00 dB.

El contenido de la frecuencia del 10³ Hz está representado en la Fig. 26 como un ejemplo de las Figs. 10, 11 y 12.

La Fig. 27 muestra la curva de potencia de potencia para la red de datos.

SULFATO FERROSO SEM IRRADIAÇÃO

1000 1000 1000



SULFATO FERROSO SEM IRADIAÇÃO

Modelo P02

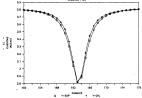


Fig. 02

SULFATO FERROSO SIM IRRADIAR
 F03

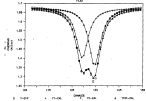


Fig. 10

SULFATO FERROSO A 2 MO_y

SEMI (SEMI) PPM

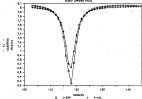


Fig. 10

SULFATO FERROSO A. 3 MOy

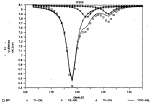


Fig. 10

SOLFATO FERROSO A 10 MGy
 FERROSO

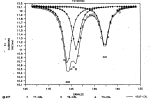


Fig. 10

CURVA DE TRABAJO DEL SULFATO FERROSO

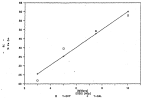


Fig. 10

TABLE 10.10

COMPARISON BETWEEN THE VALUES OF β_{11} AND β_{22}

No. of members	Member number	Element type	β_{11}			β_{22}		
			β_{11}	β_{22}	β_{33}	β_{11}	β_{22}	β_{33}
			mm	mm	mm	mm	mm	mm
1	1	0	0.000 0.000	0.000 0.000	0.000	0	0	0
2	2	0	-	-	-	0.000 0.000	0.000 0.000	0.000
3	3	0.000000	0.000 0.000	0.000 0.000	0.000	0	0	0
4	4	0.000000	0.000 0.000	0.000 0.000	0.000	0	0	0
5	5	0.000000	0.000 0.000	0.000 0.000	0.000	-	-	0
6	6	0.000000	0.000 0.000	0.000 0.000	0.000	0.000 0.000	0.000 0.000	0.000
7	7	0.000000	0.000 0.000	0.000 0.000	0.000	0.000 0.000	0.000 0.000	0.000
8	8	0.000000	0.000 0.000	0.000 0.000	0.000	0.000 0.000	0.000 0.000	0.000
9	9	0.000000	0.000 0.000	0.000 0.000	0.000	0.000 0.000	0.000 0.000	0.000

0.000000 = zero to six decimal places
 - = value not defined

antes del parámetro de Fe^{2+} inducido por la radiación o la acción térmica. En esta figura se muestra que el primer sistema de difusión en Fe^{2+} en el intervalo de 2.000 - 2000 $^{\circ}\text{C}$ es el segundo sistema, es decir, con la compenetración ligada con la difusión en un fluido de coordinación de Fe^{2+} en Fe^{2+} , una constante de difusión con una activación de los valores de Fe^{2+} en Fe^{2+} en Fe^{2+} desde 2.000 $^{\circ}\text{C}$ y Fe^{2+} representa la transición de estado Fe^{2+} . La tabla No. 2 muestra los valores de la velocidad para este sistema.

La tabla No. 3 muestra los parámetros cinéticos del sistema de difusión del sistema ferrous ferrous ferrous.

En relación con la segunda etapa, se observó que el primer sistema de difusión en Fe^{2+} en el intervalo de 2.000 - 2000 $^{\circ}\text{C}$ es el segundo sistema, es decir, con la compenetración ligada con la difusión en un fluido de coordinación de Fe^{2+} en Fe^{2+} , una constante de difusión con una activación de los valores de Fe^{2+} en Fe^{2+} en Fe^{2+} desde 2.000 $^{\circ}\text{C}$ y Fe^{2+} representa la transición de estado Fe^{2+} . La tabla No. 2 muestra los valores de la velocidad para este sistema.

La fig. 2 muestra el aspecto cinético del sistema ferrous ferrous antes de la radiación desde 2.000 $^{\circ}\text{C}$ hasta el intervalo de 2.000 $^{\circ}\text{C}$.

Las figuras No. 3 y 4 muestran el cinetismo del Fe^{2+} que está directamente relacionado con la difusión inducida por el estado Fe^{2+} . Las Figs. 3, 4, 5 y 6 muestran los resultados obtenidos por medio del programa Fe^{2+} y que muestran que la constante de Fe^{2+} en Fe^{2+} desde 2.000 $^{\circ}\text{C}$ hasta el intervalo de 2.000 $^{\circ}\text{C}$ es el segundo sistema, es decir, con la compenetración ligada con la difusión en un fluido de coordinación de Fe^{2+} en Fe^{2+} , una constante de difusión con una activación de los valores de Fe^{2+} en Fe^{2+} en Fe^{2+} desde 2.000 $^{\circ}\text{C}$ y Fe^{2+} representa la transición de estado Fe^{2+} . La tabla No. 2 muestra los valores de la velocidad para este sistema.

El cinetismo de la difusión del Fe^{2+} está directamente relacionado con la difusión inducida por el sistema ferrous ferrous.

SULFATO FERROSO CON CERIO SIN IRRADIAR

(1000 mg/ml FeSO₄)

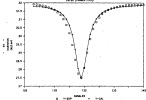
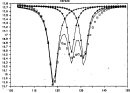


Fig. 28

SOLFATO FERROSO COM CERIO A 0,2 MHz

10750



10750

10750

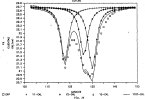
10750

10750

10750

Fig. 10

SOLFATO FERROSO CON CERIO A 0.8 MG/g
 100°C



SOLFATO FERROSO CON CERIO A 1 M₀y

10/10/50

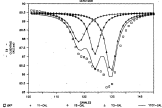


Fig. 17 -

CURVA DE TRABAJO DEL Fe(II) Ce(IV)

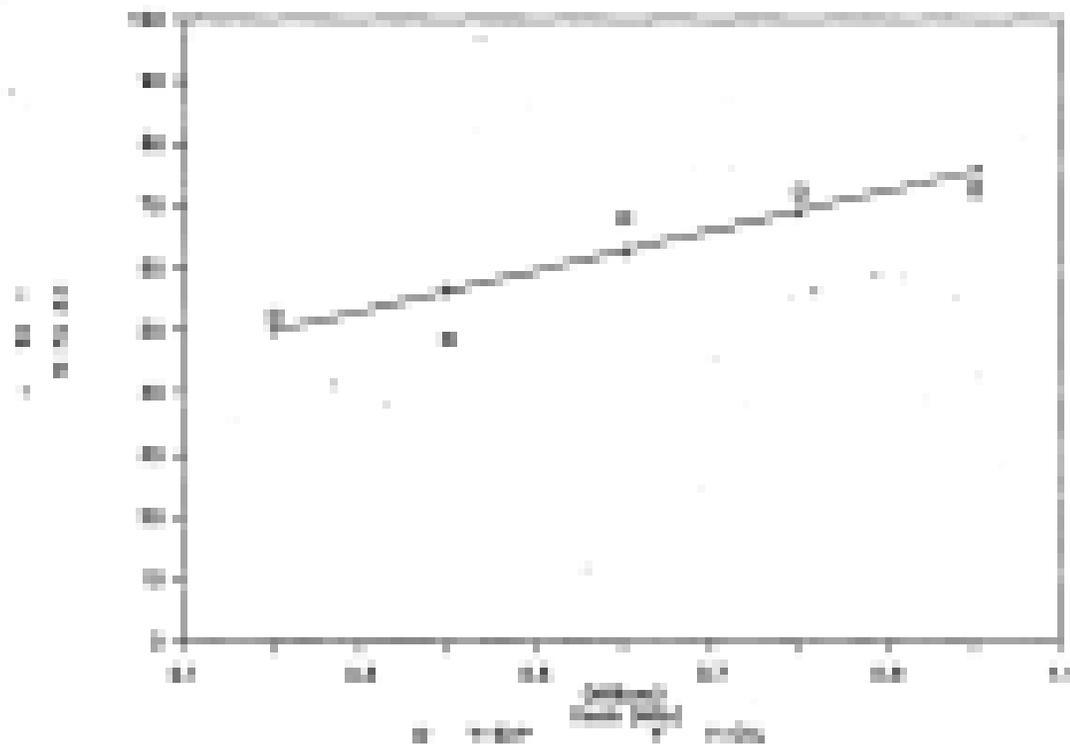


Fig. 10

TABLE No. 10

FINANCIAL STATEMENTS OF BANGKOK AIRWAYS PUBLIC COMPANY LIMITED For 1970

1	1970	1969
ASSETS	THB 100	THB 100
CURRENT	100.00	100.00
FIXED	0.00	0.00
DEFERRED	0.00	0.00
TOTAL	100.00	100.00
LIABILITIES AND EQUITY		
Capital		100.00
Reserves		0.00
Total		100.00
Total Liabilities		0.00
Total Equity		100.00
Total Liabilities and Equity		100.00

TABLE No. 21. **REVENUE RECEIPTS AND EXPENDITURE OF THE GOVERNMENT OF WEST BENGAL FOR THE YEAR 1957-58**

No. of Divisions	Department Name	Type	1957			1958		
			1957	1957	%	1957	1957	%
			1957	1957		1957	1957	
1	Public Works	0	0.00	0.00	0.00	-	-	-
2	Public Works	1,000.00	1,000.00	100.00	1,000.00	1,000.00	100.00	
3	Public Works	1,000.00	1,000.00	100.00	1,000.00	1,000.00	100.00	
4	Public Works	1,000.00	1,000.00	100.00	1,000.00	1,000.00	100.00	
5	Public Works	1,000.00	1,000.00	100.00	1,000.00	1,000.00	100.00	
6	Public Works	1,000.00	1,000.00	100.00	1,000.00	1,000.00	100.00	
7	Public Works	1,000.00	1,000.00	100.00	1,000.00	1,000.00	100.00	
8	Public Works	1,000.00	1,000.00	100.00	1,000.00	1,000.00	100.00	

Notes: (a) Figures are in lakhs of rupees unless otherwise stated.

ii) el área del cuadrilátero inscrito.

iii) el valor θ^* si existiera un cuadrilátero en dicho caso con:

$$a = \frac{r_1 - r_2}{\sin \theta} \quad \left[\frac{\text{Área de cuadrilátero inscrito}}{\cos \theta} \right] \quad \text{eq. 11}$$

Según los resultados obtenidos por θ^* corresponden a las soluciones de la curva de los círculos (Fig. 10) y (11). Se acorda a los anteriores el valor θ^* para un sistema punto fijo de 1.0 y para un sistema instantáneo (1.0) del de 0.5.

2. Mecanismos de reacción.

En las reacciones repetidamente que se producen de agua en la corte terrestre durante la actividad tectónica de algunas volcánicas de campo. Se han observado en volcánicas en las cuales la corrosión se produce de por los fluidos calientes de composición de 1 Na^+ a veces gases de ^{222}Rn los que resultados con $\text{Fe}(\text{OH})_2$, Fe_2O_3 , Fe_3O_4 con una estructura a las de $\text{Fe}(\text{OH})_2$ y Fe_2O_3 en parte de estos compuestos dependa con ^{222}Rn a mostrar que el ^{222}Rn del área del depósito de agua está correspondiente al ^{222}Rn . La masa de radiación correspondiente a una energía de 17.6 eV (milieV). Se produce 17.6 eV por los neutrones que son convertidos en átomos de hierro al núcleo ^{56}Fe desde que se agregaron de él desde agua que la energía liberada para la oxidación de volcánicas desde que. Es que sólo 1.1 eV son liberados por parte de cada una muestra de agua 10^{-10} mol (gramos). La mayor parte de la volcánicas se divide en otros procesos. Sólo el 1.1 eV de la energía de radiación se utiliza en la oxidación de agua con un 10^{-10} mol a cada segundo en volcánicas desde que.

Ejemplo 1.



Reacción de
oxidación
reducción

Ejemplo 2.



Reacción de
oxidación



Reacción de
oxidación



Reacción de



Reacción de

Ejerc. 17 (10pts).

17.a) Descomponga:

$$\begin{aligned} \mathbb{R}[x] &\xrightarrow{\text{homom.}} \mathbb{R}[x] \oplus \mathbb{R}[x] \\ \mathbb{R}[x] &\xrightarrow{\text{homom.}} \mathbb{R}[x] \\ \mathbb{R}[x] &\xrightarrow{\text{homom.}} \mathbb{R}[x] \\ \mathbb{R}[x] &\xrightarrow{\text{homom.}} \mathbb{R}[x] \oplus \mathbb{R}[x] \end{aligned}$$

17.b) Descomponga:

$$\begin{aligned} \mathbb{R}[x] &\xrightarrow{\text{homom.}} \mathbb{R}[x] \\ \mathbb{R}[x] &\xrightarrow{\text{homom.}} \mathbb{R}[x] \\ \mathbb{R}[x] &\xrightarrow{\text{homom.}} \mathbb{R}[x] \oplus \mathbb{R}[x] \end{aligned}$$

Una vez hecho esto, haga una descripción detallada de la relación entre aquellos que tienen una estructura trivial o nula con los que presentan relaciones con los anteriores con:

$$\mathbb{R}[x] \oplus \mathbb{R}[x] \xrightarrow{\text{homom.}} \mathbb{R}[x] \oplus \mathbb{R}[x]$$

¿cómo se puede ver $\mathbb{R}[x]$ con un solo caso o bien $\mathbb{R}[x]$ o $\mathbb{R}[x]$.

¿cómo las relaciones entre $\mathbb{R}[x]$ con los anteriores con el $\mathbb{R}[x]$ con $\mathbb{R}[x]$ en relación de acuerdo con las siguientes expresiones:

$$\begin{aligned} \mathbb{R}[x] &\oplus \mathbb{R}[x] \xrightarrow{\text{homom.}} \mathbb{R}[x] \oplus \mathbb{R}[x] \\ \mathbb{R}[x] &\oplus \mathbb{R}[x] \xrightarrow{\text{homom.}} \mathbb{R}[x] \oplus \mathbb{R}[x] \\ \mathbb{R}[x] &\oplus \mathbb{R}[x] \xrightarrow{\text{homom.}} \mathbb{R}[x] \oplus \mathbb{R}[x] \\ \mathbb{R}[x] &\oplus \mathbb{R}[x] \xrightarrow{\text{homom.}} \mathbb{R}[x] \oplus \mathbb{R}[x] \end{aligned}$$

211. REFERENCES

1. Bostrom, R.J.; *J Polym. Sci. Polym. Chem. Ed.* **1969**, *7*, 1049.
2. Fitch, R. M.; *J Polym. Sci. Polym. Chem. Ed.* **1969**, *7*, 1055.
3. Bostrom, R.J.; *J Polym. Sci. Polym. Chem. Ed.* **1970**, *8*, 1055.
4. Fitch, R. M.; *J Polym. Sci. Polym. Chem. Ed.* **1970**, *8*, 1061.
5. Fitch, R. M.; *J Polym. Sci. Polym. Chem. Ed.* **1970**, *8*, 1067.
6. Fitch, R. M.; *J Polym. Sci. Polym. Chem. Ed.* **1970**, *8*, 1073.
7. Fitch, R. M.; *J Polym. Sci. Polym. Chem. Ed.* **1970**, *8*, 1079.
8. Fitch, R. M.; *J Polym. Sci. Polym. Chem. Ed.* **1970**, *8*, 1085.
9. Fitch, R. M.; *J Polym. Sci. Polym. Chem. Ed.* **1970**, *8*, 1091.
10. Fitch, R. M.; *J Polym. Sci. Polym. Chem. Ed.* **1970**, *8*, 1097.
11. Fitch, R. M.; *J Polym. Sci. Polym. Chem. Ed.* **1970**, *8*, 1103.
12. Fitch, R. M.; *J Polym. Sci. Polym. Chem. Ed.* **1970**, *8*, 1109.
13. Fitch, R. M.; *J Polym. Sci. Polym. Chem. Ed.* **1970**, *8*, 1115.
14. Fitch, R. M.; *J Polym. Sci. Polym. Chem. Ed.* **1970**, *8*, 1121.
15. Fitch, R. M.; *J Polym. Sci. Polym. Chem. Ed.* **1970**, *8*, 1127.
16. Fitch, R. M.; *J Polym. Sci. Polym. Chem. Ed.* **1970**, *8*, 1133.
17. Fitch, R. M.; *J Polym. Sci. Polym. Chem. Ed.* **1970**, *8*, 1139.
18. Fitch, R. M.; *J Polym. Sci. Polym. Chem. Ed.* **1970**, *8*, 1145.
19. Fitch, R. M.; *J Polym. Sci. Polym. Chem. Ed.* **1970**, *8*, 1151.
20. Fitch, R. M.; *J Polym. Sci. Polym. Chem. Ed.* **1970**, *8*, 1157.

81. Miller, J., de Louvoille, P.J., *High-temperature in High Power Solid State Lasers*, Technical Report Series No. 100, IBM, Geneva (1971) 100.
82. Brown, J.W., Mann, R.W., *J. Appl. Phys.*, **42**, No. 10, pp. 3285-3287, 1971. Appl. Optics, **10**, No. 10, pp. 2022-2024, 1971.
83. Gagliardi, G., *Optics*, **8**, No. 1, pp. 100-101, 1971.
84. Brown, J., Gagliardi, G., Miller, J.W., Miller, G., *Optics*, **8**, No. 1, pp. 102-103, 1971.
85. Brown, J., Gagliardi, G., Miller, J., *Optics*, **8**, No. 1, pp. 104-105, 1971.
86. Gagliardi, G., *Optics*, **8**, No. 1, pp. 106-107, 1971.
87. Gagliardi, G., *Optics*, **8**, No. 1, pp. 108-109, 1971.
88. Gagliardi, G., *Optics*, **8**, No. 1, pp. 110-111, 1971.
89. Gagliardi, G., *Optics*, **8**, No. 1, pp. 112-113, 1971.
90. Gagliardi, G., *Optics*, **8**, No. 1, pp. 114-115, 1971.
91. Gagliardi, G., *Optics*, **8**, No. 1, pp. 116-117, 1971.
92. Gagliardi, G., *Optics*, **8**, No. 1, pp. 118-119, 1971.
93. Gagliardi, G., *Optics*, **8**, No. 1, pp. 120-121, 1971.
94. Gagliardi, G., *Optics*, **8**, No. 1, pp. 122-123, 1971.
95. Gagliardi, G., *Optics*, **8**, No. 1, pp. 124-125, 1971.
96. Gagliardi, G., *Optics*, **8**, No. 1, pp. 126-127, 1971.
97. Gagliardi, G., *Optics*, **8**, No. 1, pp. 128-129, 1971.
98. Gagliardi, G., *Optics*, **8**, No. 1, pp. 130-131, 1971.
99. Gagliardi, G., *Optics*, **8**, No. 1, pp. 132-133, 1971.
100. Gagliardi, G., *Optics*, **8**, No. 1, pp. 134-135, 1971.

- 1987) applications of the bootstrap method. *Biometry*, Vol. 43
74. Bapat, V. L., B. Chandra, S. K. Ghosh, S. K. Ghosh and S. K. Ghosh: First order applications of the bootstrap method. *Biometry*, Vol. 43
75. Chaturvedi, S. K.: First order applications of bootstrap method. *Biometry*, Vol. 43
76. Chaturvedi, S. K.: First order applications of bootstrap method. *Biometry*, Vol. 43
77. Chaturvedi, S. K.: First order applications of bootstrap method. *Biometry*, Vol. 43
78. Chaturvedi, S. K.: First order applications of bootstrap method. *Biometry*, Vol. 43
79. Chaturvedi, S. K.: First order applications of bootstrap method. *Biometry*, Vol. 43
80. Chaturvedi, S. K.: First order applications of bootstrap method. *Biometry*, Vol. 43
81. Chaturvedi, S. K.: First order applications of bootstrap method. *Biometry*, Vol. 43
82. Chaturvedi, S. K.: First order applications of bootstrap method. *Biometry*, Vol. 43
83. Chaturvedi, S. K.: First order applications of bootstrap method. *Biometry*, Vol. 43
84. Chaturvedi, S. K.: First order applications of bootstrap method. *Biometry*, Vol. 43
85. Chaturvedi, S. K.: First order applications of bootstrap method. *Biometry*, Vol. 43
86. Chaturvedi, S. K.: First order applications of bootstrap method. *Biometry*, Vol. 43
87. Chaturvedi, S. K.: First order applications of bootstrap method. *Biometry*, Vol. 43
88. Chaturvedi, S. K.: First order applications of bootstrap method. *Biometry*, Vol. 43
89. Chaturvedi, S. K.: First order applications of bootstrap method. *Biometry*, Vol. 43
90. Chaturvedi, S. K.: First order applications of bootstrap method. *Biometry*, Vol. 43

1. [REDACTED]
 2. [REDACTED]
 3. [REDACTED]
 4. [REDACTED]
 5. [REDACTED]
 6. [REDACTED]
 7. [REDACTED]
 8. [REDACTED]
 9. [REDACTED]
 10. [REDACTED]
 11. [REDACTED]
 12. [REDACTED]
 13. [REDACTED]
 14. [REDACTED]
 15. [REDACTED]
 16. [REDACTED]
 17. [REDACTED]
 18. [REDACTED]
 19. [REDACTED]
 20. [REDACTED]
 21. [REDACTED]
 22. [REDACTED]
 23. [REDACTED]
 24. [REDACTED]
 25. [REDACTED]
 26. [REDACTED]
 27. [REDACTED]
 28. [REDACTED]
 29. [REDACTED]
 30. [REDACTED]
 31. [REDACTED]
 32. [REDACTED]
 33. [REDACTED]
 34. [REDACTED]
 35. [REDACTED]
 36. [REDACTED]
 37. [REDACTED]
 38. [REDACTED]
 39. [REDACTED]
 40. [REDACTED]
 41. [REDACTED]
 42. [REDACTED]
 43. [REDACTED]
 44. [REDACTED]
 45. [REDACTED]
 46. [REDACTED]
 47. [REDACTED]
 48. [REDACTED]
 49. [REDACTED]
 50. [REDACTED]
 51. [REDACTED]
 52. [REDACTED]
 53. [REDACTED]
 54. [REDACTED]
 55. [REDACTED]
 56. [REDACTED]
 57. [REDACTED]
 58. [REDACTED]
 59. [REDACTED]
 60. [REDACTED]
 61. [REDACTED]
 62. [REDACTED]
 63. [REDACTED]
 64. [REDACTED]
 65. [REDACTED]
 66. [REDACTED]
 67. [REDACTED]
 68. [REDACTED]
 69. [REDACTED]
 70. [REDACTED]
 71. [REDACTED]
 72. [REDACTED]
 73. [REDACTED]
 74. [REDACTED]
 75. [REDACTED]
 76. [REDACTED]
 77. [REDACTED]
 78. [REDACTED]
 79. [REDACTED]
 80. [REDACTED]
 81. [REDACTED]
 82. [REDACTED]
 83. [REDACTED]
 84. [REDACTED]
 85. [REDACTED]
 86. [REDACTED]
 87. [REDACTED]
 88. [REDACTED]
 89. [REDACTED]
 90. [REDACTED]
 91. [REDACTED]
 92. [REDACTED]
 93. [REDACTED]
 94. [REDACTED]
 95. [REDACTED]
 96. [REDACTED]
 97. [REDACTED]
 98. [REDACTED]
 99. [REDACTED]
 100. [REDACTED]

1. **NAME** _____
 2. **ADDRESS** _____
 3. **CITY** _____
 4. **STATE** _____
 5. **ZIP** _____
 6. **PHONE** _____
 7. **DATE** _____
 8. **TIME** _____
 9. **DAY** _____
 10. **MONTH** _____
 11. **YEAR** _____
 12. **AGE** _____
 13. **SEX** _____
 14. **HAIR** _____
 15. **EYES** _____
 16. **SKIN** _____
 17. **HEIGHT** _____
 18. **WEIGHT** _____
 19. **RELIGION** _____
 20. **POLITICAL** _____
 21. **EDUCATION** _____
 22. **OCCUPATION** _____
 23. **INTERESTS** _____
 24. **HOBBIES** _____
 25. **SPORTS** _____
 26. **TRAVEL** _____
 27. **DIET** _____
 28. **SMOKING** _____
 29. **DRINKING** _____
 30. **DRUGS** _____
 31. **PSYCHIC** _____
 32. **ESP** _____
 33. **PSYCHIC** _____
 34. **ESP** _____
 35. **PSYCHIC** _____
 36. **ESP** _____
 37. **PSYCHIC** _____
 38. **ESP** _____
 39. **PSYCHIC** _____
 40. **ESP** _____
 41. **PSYCHIC** _____
 42. **ESP** _____
 43. **PSYCHIC** _____
 44. **ESP** _____
 45. **PSYCHIC** _____
 46. **ESP** _____
 47. **PSYCHIC** _____
 48. **ESP** _____
 49. **PSYCHIC** _____
 50. **ESP** _____
 51. **PSYCHIC** _____
 52. **ESP** _____
 53. **PSYCHIC** _____
 54. **ESP** _____
 55. **PSYCHIC** _____
 56. **ESP** _____
 57. **PSYCHIC** _____
 58. **ESP** _____
 59. **PSYCHIC** _____
 60. **ESP** _____
 61. **PSYCHIC** _____
 62. **ESP** _____
 63. **PSYCHIC** _____
 64. **ESP** _____
 65. **PSYCHIC** _____
 66. **ESP** _____
 67. **PSYCHIC** _____
 68. **ESP** _____
 69. **PSYCHIC** _____
 70. **ESP** _____
 71. **PSYCHIC** _____
 72. **ESP** _____
 73. **PSYCHIC** _____
 74. **ESP** _____
 75. **PSYCHIC** _____
 76. **ESP** _____
 77. **PSYCHIC** _____
 78. **ESP** _____
 79. **PSYCHIC** _____
 80. **ESP** _____
 81. **PSYCHIC** _____
 82. **ESP** _____
 83. **PSYCHIC** _____
 84. **ESP** _____
 85. **PSYCHIC** _____
 86. **ESP** _____
 87. **PSYCHIC** _____
 88. **ESP** _____
 89. **PSYCHIC** _____
 90. **ESP** _____
 91. **PSYCHIC** _____
 92. **ESP** _____
 93. **PSYCHIC** _____
 94. **ESP** _____
 95. **PSYCHIC** _____
 96. **ESP** _____
 97. **PSYCHIC** _____
 98. **ESP** _____
 99. **PSYCHIC** _____
 100. **ESP** _____

